

Figura 2.13 Resistencia a la falla vs. Succión y tensión normal neta para la arena arcillosa de Madrid (Escario y Sáez, 1986).

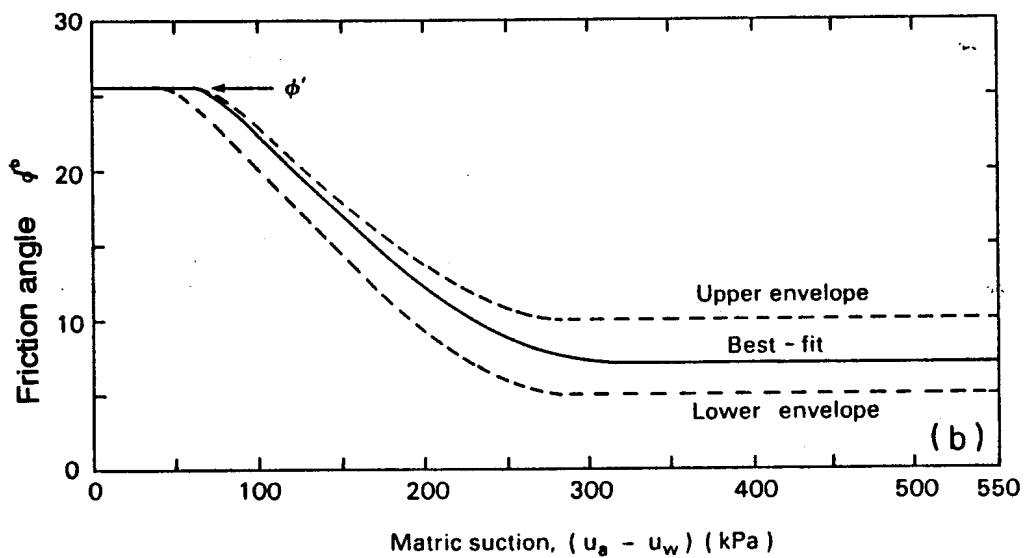


Figura 2.14 Valor de  $\phi^b$  contra succión (Gan, Fredlund y Rahardjo, 1988).

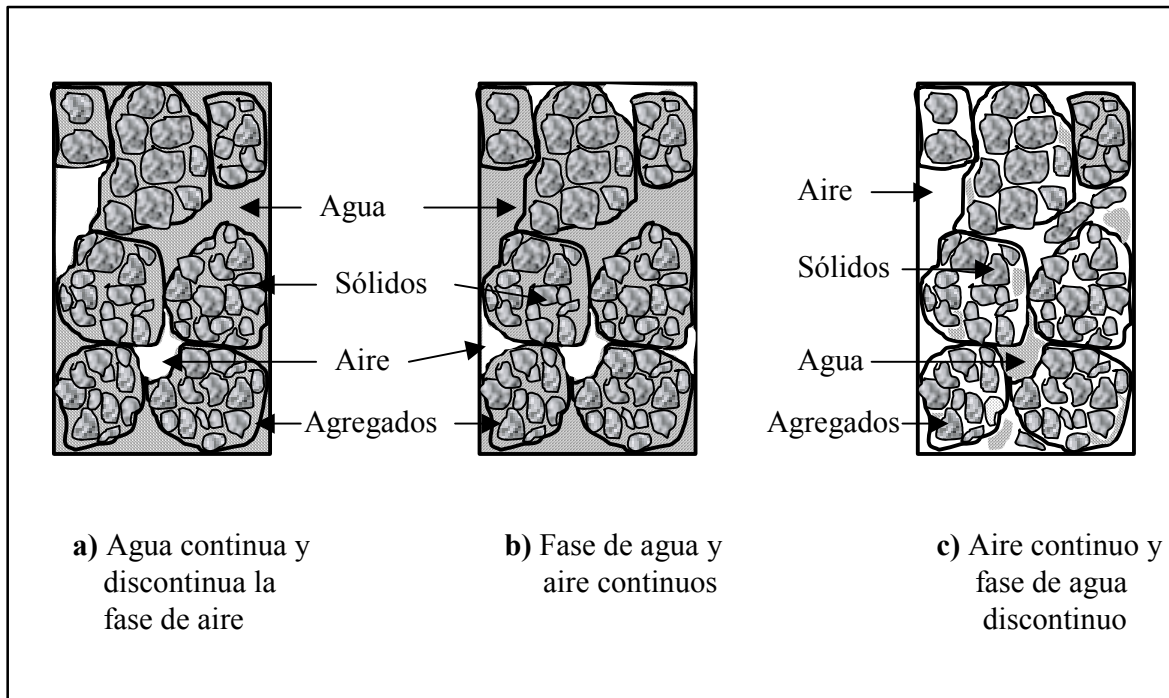


Figura 2.15 Estructuras de suelos compactados.

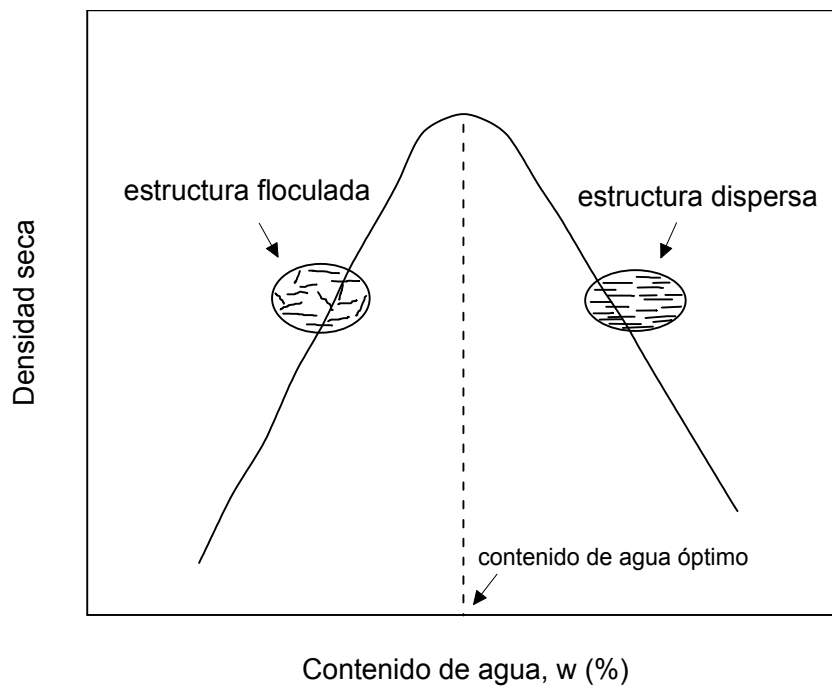


Figura 2.16 Efecto del contenido de agua sobre estructuras de suelos compactados (Lambe, 1958).

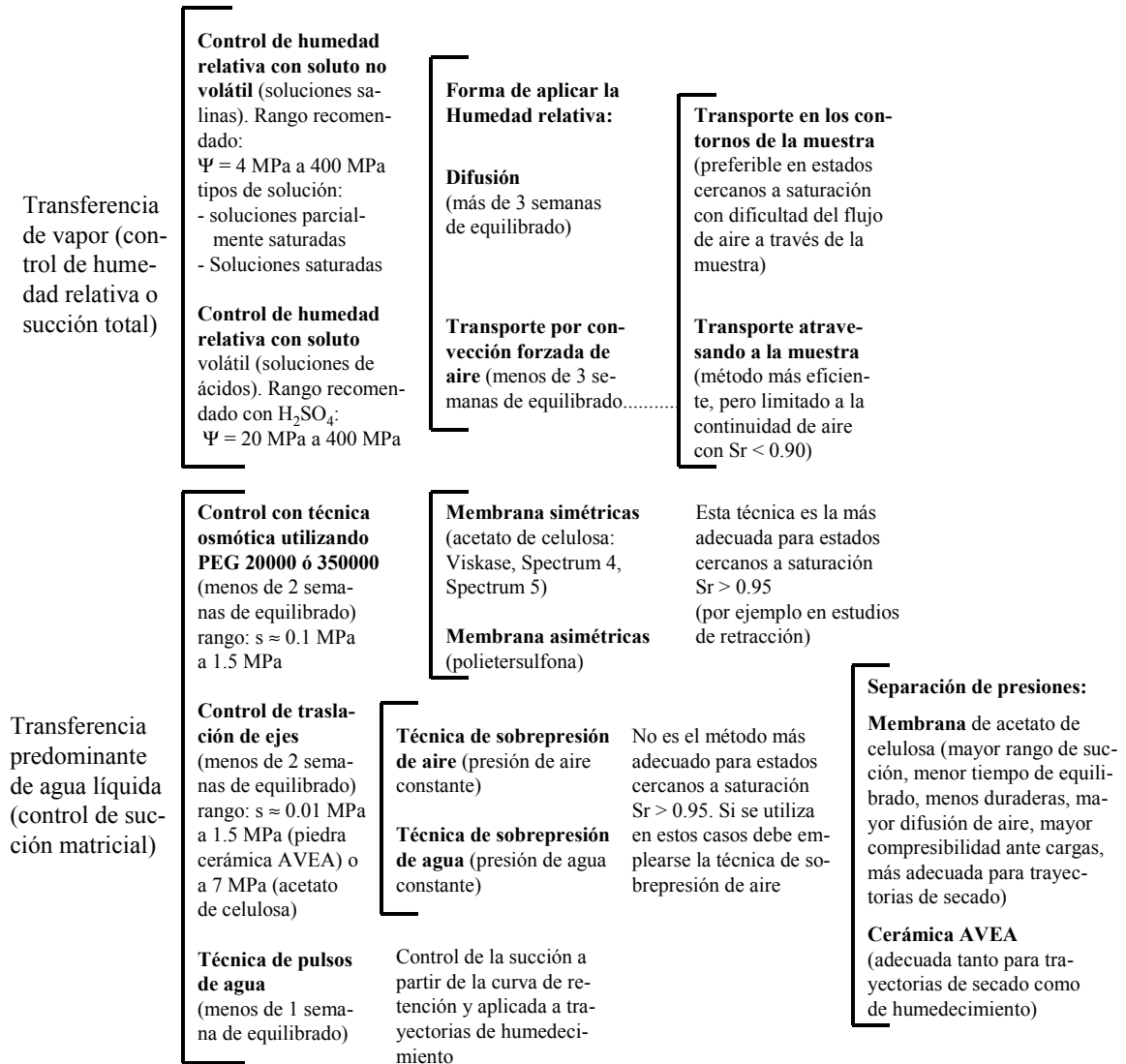


Figura 2.17 Técnicas experimentales de aplicación de succión. Rangos típicos de succión aplicada. Tiempos de equilibrado aproximados para suelos arcillosos con una distancia de drenaje de 10 mm (Gens y Romero, 2000).

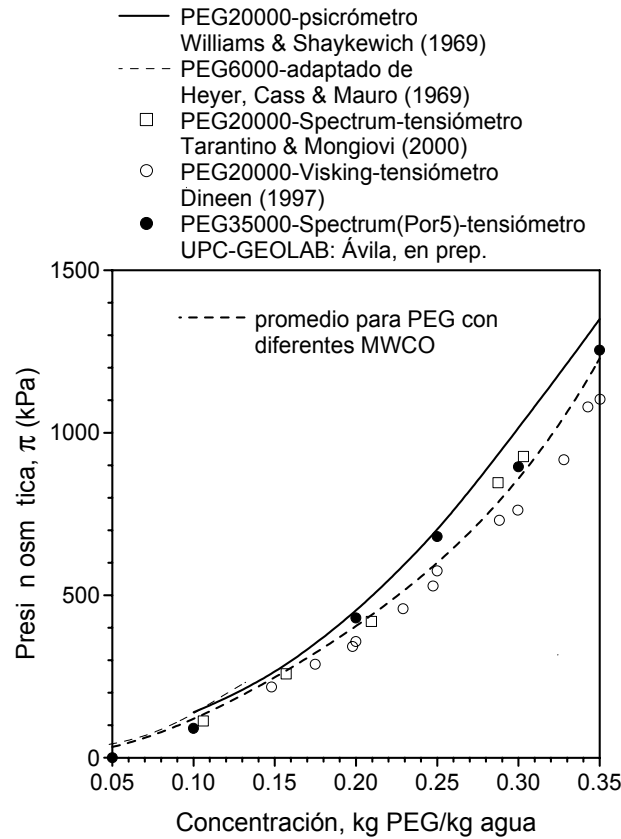


Figura 2.18 Calibración de la presión osmótica de soluciones de PEG con diferentes masas moleculares (Gens y Romero, 2000).

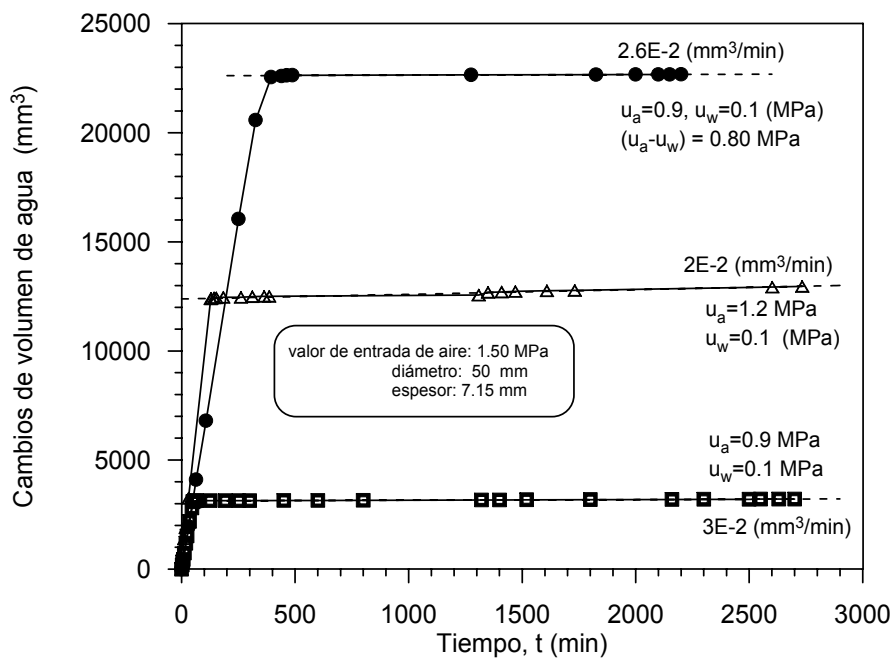


Figura 2.19 Aire disuelto a través del disco cerámico a diferentes condiciones de presión de aire ( $u_a$ ) y agua ( $u_w$ ). Nueva célula edométrica con control de succión.

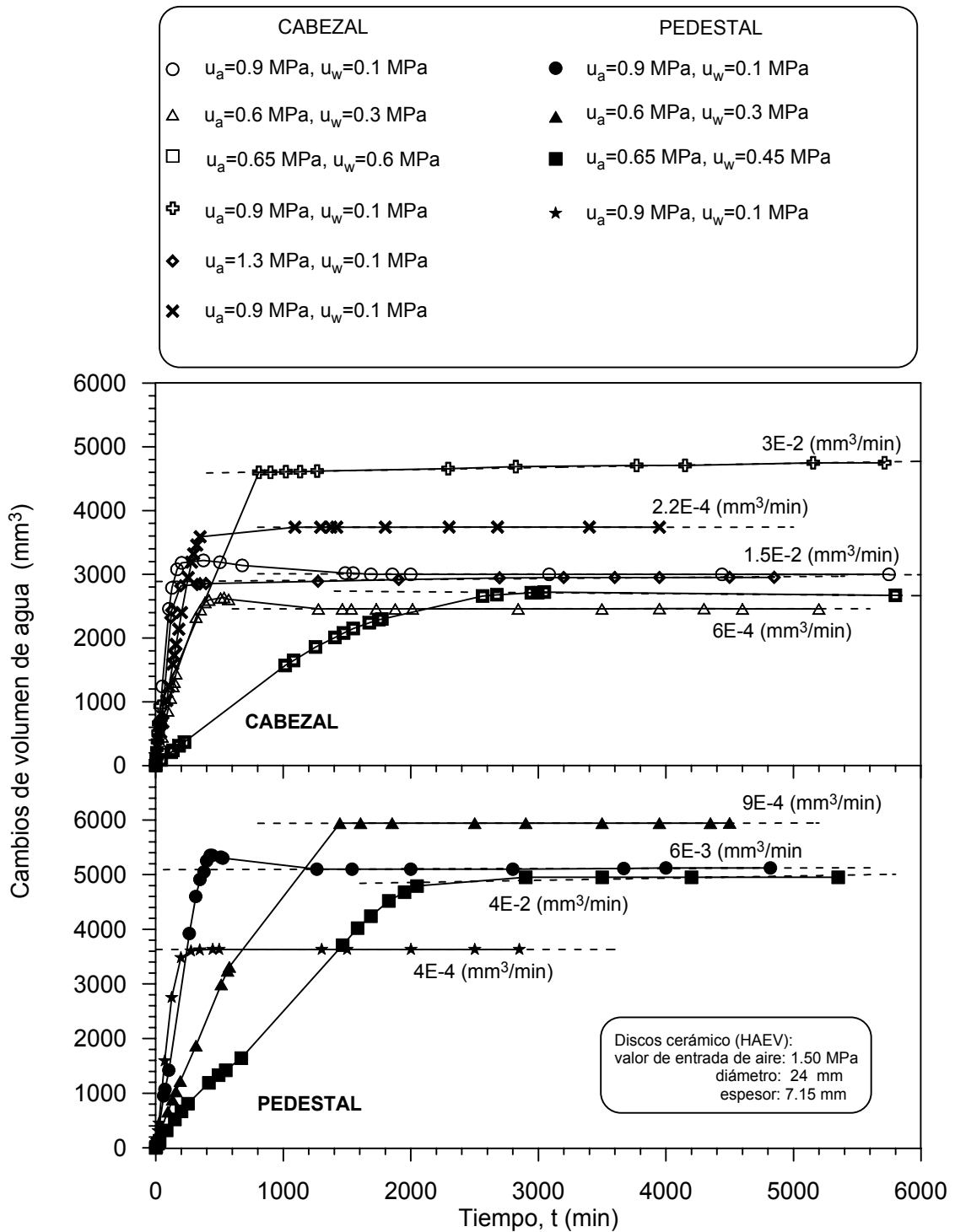


Figura 2.20 Aire disuelto a través del disco cerámico a diferentes condiciones de presión de aire  $u_a$  y agua  $u_w$  (Cámara Triaxial con succión controlada).

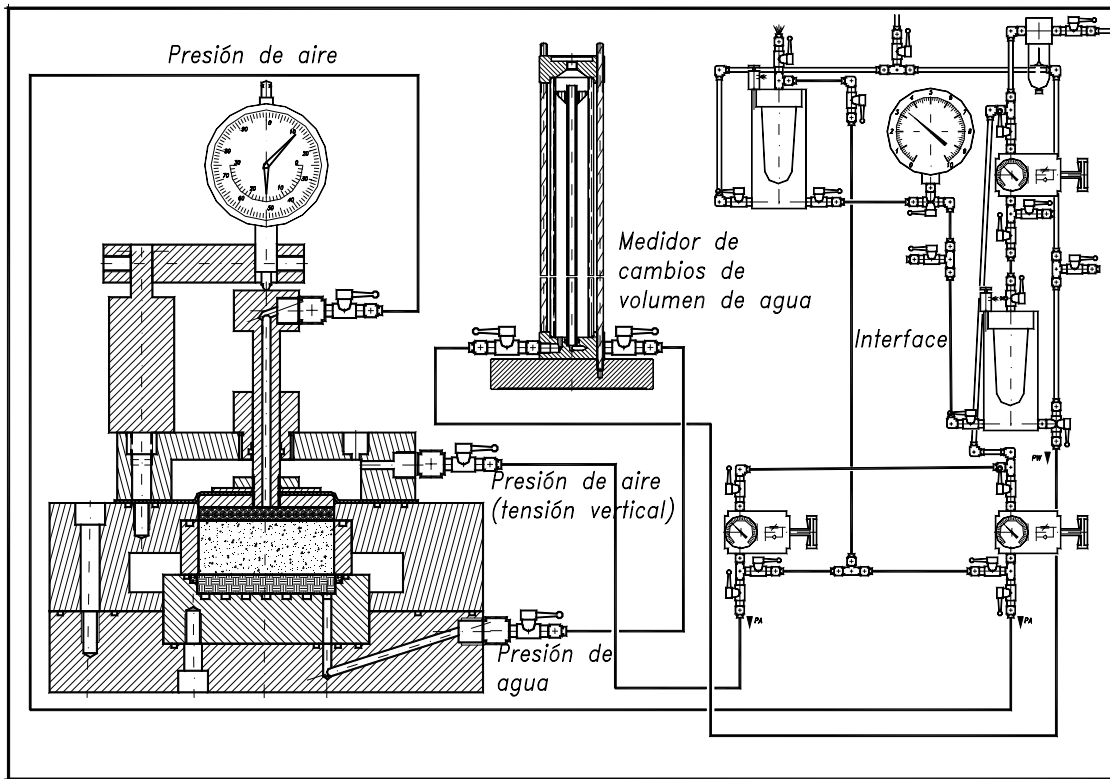


Figura 2.21 Edómetro con control de succión (Lloret, 1982). Célula edométrica, medidor de cambio de agua y sistema de presión, no están a la misma escala.

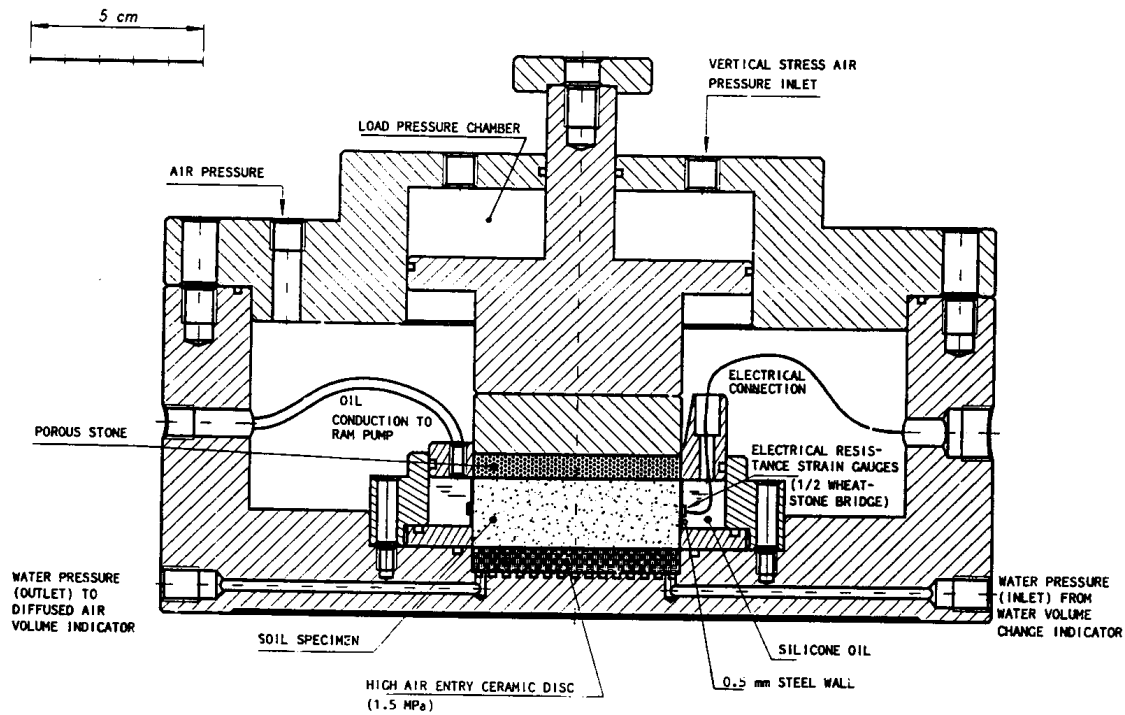


Figura 2.22 Célula edométrica con control de succión y tensión lateral (Romero, 1999).